

Lập trình phân tích độ nhạy trong tối ưu hóa mô phỏng quỹ đạo tàu

■ TS. TRẦN KHÁNH TOÀN - Trường Đại học Hàng hải Việt Nam

TÓM TẮT: Trong mô hình toán có nhiều biến đầu vào, phân tích độ nhạy của các biến đầu vào là bước quan trọng đảm bảo độ tin cậy của mô hình toán. Để tối ưu hóa mô phỏng quỹ đạo tàu thì trong mô hình toán cần thiết phải phân tích độ nhạy để lựa chọn nhóm các hệ số thủy động lực học (TDLH) có độ nhạy lớn nhất. Trong bài báo, tác giả áp dụng kỹ thuật phân tích độ nhạy trong mô hình toán lập trình tối ưu hóa quỹ đạo cho mô hình tàu thực Esso Bernicia 193000 DWT.

TỪ KHÓA: Phân tích độ nhạy, hệ số thủy động lực học, tối ưu hóa, quỹ đạo tàu, điều động tàu, mô phỏng.

ABSTRACT: In the mathematical model with multiple input variables, the sensitivity analysis of the input variables is an important step to ensure the reliability of the mathematical model. In order to optimize the ship trajectory simulation, the sensitivity analysis should be performed in the mathematical model to select the group of the most sensitive hydrodynamic coefficients. In this paper, the author applied the sensitivity analysis method in mathematics model of ship manoeuvring programming in order to optimize the ship trajectory of Esso Bernicia 193000DWT tanker model.

KEYWORDS: Sensitivity Analysis, hydrodynamic coefficients, optimization, ship trajectory, ship manoeuvring, simulation.

1. ĐẶT VẤN ĐỀ

Từ kết quả nghiên cứu của Đề tài nghiên cứu khoa học cấp Bộ GTVT về "Nghiên cứu ứng dụng các thuật toán tối ưu hóa để nâng cao độ chính xác dự đoán quỹ đạo tàu của các hệ thống mô phỏng hàng hải", Mã số DT154021 do tác giả làm chủ nhiệm đề tài [1] cho thấy: Vì phải tối ưu hóa số lượng lớn các hệ số TDLH và mức độ ảnh hưởng của các hệ số tới hàm mục tiêu là không giống nhau, do đó cần thiết phải áp dụng thuật toán để phân tích và lựa chọn số lượng nhất định của một số các hệ số có mức độ ảnh hưởng lớn nhất tới hàm mục tiêu. Ngoài ra, do tính phức tạp của mô hình toán chương trình lập trình, nên việc giảm số lượng hệ số TDLH sẽ tăng tính hội tụ khi tính toán giá trị tối ưu của các hệ số TDLH, giảm số lượng các bước lặp (iteration), kết quả

là hàm mục tiêu sẽ nhanh chóng đạt giá trị cực tiểu, giảm thời gian tính toán của chương trình lập trình. Trên cơ sở đó, tác giả đã nghiên cứu và áp dụng kỹ thuật phân tích độ nhạy để lập trình chương trình phân tích, lựa chọn bộ hệ số TDLH có ảnh hưởng lớn nhất tới hàm mục tiêu, là cơ sở quan trọng cho các bước tiếp theo trong lập trình chương trình mô phỏng và tối ưu hóa quỹ đạo tàu.

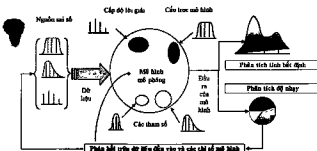
2. TỔNG QUAN VỀ KỸ THUẬT PHÂN TÍCH ĐỘ NHạy [2,3]

Kỹ thuật phân tích độ nhạy là kỹ thuật phân tích để tính bát định trong đầu ra của một mô hình toán học hay hệ thống (mô hình số hoặc các loại mô hình khác) có thể được phản bội cho các nguồn bát định khác thay đổi vào của mô hình. Sơ đồ mô hình phân tích độ nhạy được khái quát như trong Hình 2.1.

Trong nội dung nghiên cứu, tác giả giới thiệu và áp dụng phương pháp cục bộ (*Local Methods*): Khảo sát sự biến thiên của hàm hệ thống Y đối với từng biến đầu vào X , tại lân cận giá trị cố định ban đầu x^* :

$$\left| \frac{\partial Y}{\partial X_i} \right|_{x^*} \quad (1)$$

Độ nhạy sẽ được lượng hóa thông qua sự thay đổi giá trị hàm hệ thống Y khi giá trị các biến X thay đổi quanh lân cận giá trị cố định ban đầu x^* .



Hình 2.1: Sơ đồ mô hình phân tích độ nhạy

3. MÔ HÌNH TOÁN LẬP TRÌNH MÔ PHỎNG VÀ TỐI ƯU HÓA QUỸ ĐẠO TÀU

(i) Hệ phương trình vi phân chuyển động tàu mặt nước (3 bậc tự do) ở dạng không thứ nguyên (áp dụng cho mô hình tàu Esso Bernicia 193000 DWT [13]) có dạng như sau [4,5,6,7,12]:

$$\begin{aligned} - vr &= gX' \\ + ur &= gY' \\ (L)2 &= gLN' \end{aligned} \quad (2)$$

KHOA HỌC - CÔNG NGHỆ

Về phải của các phương trình trong hệ phương trình
 (1) là tổng hợp các thành phần lực và mô-men thủy động, biểu diễn như sau:

$$\begin{aligned}
g.X''' &= X'_u \dot{u} + \frac{1}{2} X'_{uv} \dot{u} |u| + \frac{1}{2} X'_{vv} \dot{v} r + \frac{1}{2} X'_{vv} v |v| \\
&+ \frac{1}{2} X'_{c|c|c|c|c|c} |c| \beta \delta + gT''(1-td) \\
&+ \frac{1}{2} X'_u u \xi \dot{\xi} + \frac{1}{2} X'_{uv} u \dot{\xi} |u| \xi + \frac{1}{2} X'_{vv} v \dot{\xi} r^2 \xi^2 \\
g.Y''' &= Y'_u \dot{v} + \frac{1}{2} Y'_{uv} \dot{v} r + \frac{1}{2} Y'_{vv} \dot{v} |v| \nu + \frac{1}{2} Y'_{c|c|c|c|c|c} |c| \beta \xi + \frac{1}{2} Y'_{uv} u r \\
&+ \frac{1}{2} Y'_{c|c|c|c|c|c} |c| \beta \delta + Y'_u \xi \dot{r} + \frac{1}{2} Y'_{uv} u \nu \dot{r} \xi + \frac{1}{2} Y'_{vv} v \nu \dot{r} \xi \\
&+ \frac{1}{2} Y'_{vv} v \dot{v} \xi + \frac{1}{2} Y'_{c|c|c|c|c|c} |c| \beta \xi + \frac{1}{2} Y'_{uv} u \nu \dot{v} \xi \\
g.JN''' &= \frac{1}{12} N'_{uu} r^2 + \frac{1}{12} N_{uv} u r v + \frac{1}{2} N'_{vv} v |v|^2 + \frac{1}{12} N'_{c|c|c|c|c|c} |c| \delta + \frac{1}{2} N'_{uv} u r \nu \\
&+ \frac{1}{12} N'_{c|c|c|c|c|c} |c| \beta \delta + \frac{1}{2} N'_{uv} u \nu \dot{r} + \frac{1}{2} N'_{uv} u \nu \dot{r} \xi + \frac{1}{2} N'_{vv} v \nu \dot{r} \xi
\end{aligned} \tag{3}$$

Trong đó: $X'_d, X'_{u_1}, \dots, Y'_d, Y'_{u_2}, \dots, N'_d, N'_{u_3}, \dots, N'_{u_4}$ - Các hệ số TĐLH của tàu.

(ii) Xây dựng hàm mục tiêu trong hai phép thử tàu thực nghiệm điển hình [11,12]:

$$F_{obj} = \left(\sum_{i=1}^N f_i(\alpha)^2 \right)^{1/2} = \left(\sum_{i=1}^N \Delta S_i^2 \right)^{1/2} \quad (4)$$

- Phép thử Turning Circle:

Trong đó: $f(\alpha) = \Delta\psi$ - Hàm sai lệch góc xoay mô phỏng và thực nghiệm tại điểm đo thứ i ; $\alpha = [\alpha_1, \alpha_2, \alpha_3, \dots, \alpha_n]^T$ - Ma trận của M ($M = 35$) hệ số TĐLH của tàu ảnh hưởng đến giá trị độ sai lệch góc xoay mô phỏng và thực nghiệm; N : Số điểm đo thực nghiệm.

$$F_{obj} = \left(\sum_{i=1}^N f_i(\alpha)^2 \right)^{1/2} = \left(\sum_{i=1}^N \Delta \psi_i^2 \right)^{1/2} \quad (5)$$

- Phép thử Zigzag:

Trong đó: $f_i(\alpha) = \Delta\psi_i$ - Hàm sai lệch góc xoay mô phỏng và thực nghiệm tại điểm đo thứ (i); $\alpha = [\alpha_1, \alpha_2, \alpha_3, \dots, \alpha_M]^T$ - Ma trận của M ($M = 35$) hệ số TBLH của tàu ảnh hưởng đến giá trị độ sai lệch góc xoay mô phỏng và thực nghiệm; N - Số điểm đo thực nghiệm.

4. ÁP DỤNG KỸ THUẬT PHÂN TÍCH ĐỘ NHẠY TRONG TỐI ƯU HÓA MÔ PHỎNG QUÝ ĐAO TÀU

Biểu diễn lại hàm mục tiêu:

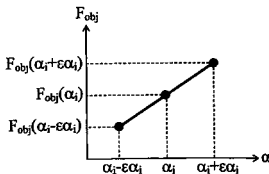
$$F_{\text{obj}} = F(a \times t) [8.9.10]$$

Tổng T_Q(t), t_Q(t); q - Các hệ số TDLH của tàu (35 hệ số); x - Vector các biến chuyển động của tàu (tọa độ vị trí góc xoay, vận tốc dọc, vận tốc ngang...); t - Tham số thời gian.

Độ nhạy của các hệ số TDH thể hiện ở mức độ ảnh hưởng của từng hệ số đối với sự biến thiên giá trị hàm mục tiêu F_{obj} . Mức độ ảnh hưởng này thể hiện qua đặc trưng hàm bậc nhất của hàm mục tiêu đối với từng hệ số TDH, g. thể hiện qua công thức:

$$\frac{\partial F_{obj}}{\partial \alpha_i} = \frac{F_{obj}(\alpha_i + \varepsilon\alpha_i) - F_{obj}(\alpha_i - \varepsilon\alpha_i)}{2\varepsilon\alpha_i} \quad (6)$$

Trong đó: ϵ - Hệ số để chọn giá trị khoảng lân cận và cùng bé khi đánh giá sự biến thiên của hàm mục tiêu F_{α} đối với từng biến q_i (các hệ số TDLH tàu), được minh họa trong Hình 4.1.



Hình 4.1: Sơ biến thiên của hàm mục tiêu F_{α}
quanh lân cận biến α_i

5. KẾT QUẢ LẬP TRÌNH PHÂN TÍCH ĐỘ NHẠY CÁC HỆ SỐ THỦY ĐỘNG LỰC HỌC CHO HAI PHÉP THỦ TURNING CIRCLE VÀ ZIGZAG

Tác giả đã lập trình mô-đun phân tích độ nhạy bằng ngôn ngữ Matlab để đánh giá mức độ ảnh hưởng của các biến đầu vào (các hệ số TĐLH) đối với sự biến thiên của hàm mục tiêu F_{obj} cho từng phép thử Turning Circle và Ziczaaz.

Kết quả phân tích đồ nhạy đạt được như sau:

Bảng 5.1. Hệ số TDLH mô hình tàu thực Esso Bernicia

STT	Hàm số TABLE	Giá trị trước đã tìm được	STT	Hàm số TABLE	Giá trị trước đã tìm được
1	X_1^*	-0.0500	19	N_{144}^{*}	-0.1900
2	X_2^*	1.0200	20	Y_{144}^{*}	0.2050
3	Y_1^*	-0.0200	21	Y_{144}^{*}	0.0050
4	Y_2^*	-2.16	22	N_{1444}^{*}	-0.3410
5	Z_1^*	0.0400	23	X_{1444}^{*}	0.1520
6	N_1^*	-0.0500	24	N_{1444}^{*}	-0.0900
7	N_2^*	-0.0728	25	X_{1444}^{*}	0.0125
8	Y_3^*	-2.4000	26	Y_{14444}^{*}	-0.1800
9	N_{14}^*	-0.3000	27	N_{14444}^{*}	0.0800
10	X_{14}^*	0.3000	28	Y_{14444}^{*}	-0.1910
11	Y_4^*	-1.2650	29	A_{144444}^{*}	0.3440
12	N_{144}^*	-0.4510	30	Y_5^*	0.2400
13	X_{144}^*	-0.0500	31	N_2^*	-0.2070
14	Y_{14}^*	-0.3780	32	X_{144}^*	0.0377
15	Y_{144}^*	0.1820	33	N_{144}^*	-0.0445
16	N_{1444}^*	-0.0470	34	X_{1444}^*	-0.0361
17	X_{1444}^*	0.3780	35	X_{14444}^*	-0.0800
18	Y_{1444}^*	-1.5000			

(1) Phép thử *Turning Circle*: Giá trị biến thiên của mục tiêu F_{obj} theo từng biến hệ số TĐLH a , thể hiện trong Hình 3.1. Các biến có độ nhạy lớn theo cận lôc ($Tol = \pm 0.1$) gồm có 10 biến phụ sau:

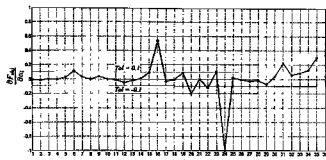
$$N_1 = Y_1 \rightarrow N_2 \rightarrow Y_2 \rightarrow N_3 \rightarrow Y_3 \rightarrow \dots \rightarrow N_{k+1} \rightarrow Y_{k+1}$$

(2) Phép thử Zigzag: Giá trị biến thiên của hàm mục tiêu F , theo từng biến hệ số TĐLH a , thể hiện trong Hình 4.1. Các biến có độ nhạy lớn theo cận lục ($Tol = \pm 0.1$) cũng gồm có 10 biến phụ sau:

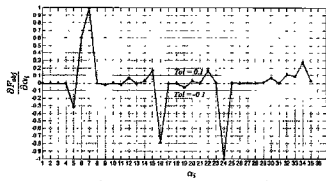
$X^{\alpha_1} \otimes N^{\alpha_2} \otimes N^{\alpha_3} \otimes Y^{\alpha_4} \otimes N^{\alpha_5} \otimes \dots \otimes N^{\alpha_{k-1}} \otimes N^{\alpha_k} \otimes \dots \otimes X^{\alpha_{k+1}} \otimes N^{\alpha_{k+2}} \otimes X^{\alpha_{k+3}}$

(3) Tổ hợp kết quả phân tích độ nhạy của cả hai phép thử Turning Circle và Zigzag: Từ kết quả phân tích và lựa chọn các hệ số TD LH có độ nhạy lớn nhất của từng phép thử cho thấy: Có 5 hệ số TD LH trùng nhau, còn lại mỗi phép thử có 5 hệ số khác. Như vậy, tổ hợp lại có tổng cộng 15 hệ số TD LH có độ nhạy lớn nhất chung cho cả hai phép thử, thể hiện trong Bảng 5.2. Sau khi chọn được nhóm các

hệ số có độ nhạy lớn nhất, tiến hành mô phỏng và tối ưu hóa quí đạo bằng cách đồng nhất quí đạo mô phỏng với quí thực nghiệm, qua đó cũng xác định (giải) được giá trị tối ưu nhất của nhóm các hệ số có độ nhạy lớn nhất.



Hình 5.1: Kết quả phân tích độ nhạy các hệ số TDLH trong phép thử Turning Circle



Hình 5.2: Kết quả phân tích độ nhạy các hệ số TDLH trong phép thử Zigzag

Bảng 5.2. Tổ hợp kết quả phân tích độ nhạy cả hai phép thử Turning Circle và Zigzag

STT	ξ_{ij}	Hệ số TDLH	STT	Hệ số TDLH
1		N''_T	9	X''_{luu}
2		Y''_{uv}	10	X''_{jic66}
3		N''_{uv}	11	Y''_T
4		Y''_{ic66}	12	N''_r
5		N''_{vv}	13	N''_{uv}
6		X''_{jic66}	14	X''_{luu}
7		N''_{jic66}	15	N''_r
8		N''_{ur}		

6. KẾT LUẬN

Tác giả đã giới thiệu tổng quan về phương pháp luận, thuật toán và ứng dụng của kỹ thuật phân tích độ nhạy. Bài báo cũng đã trình bày tóm tắt kết quả nghiên cứu là kết quả phân tích độ nhạy của 35 hệ số TDLH, từ đó xác định 15 hệ số TDLH có độ nhạy lớn nhất của mô hình tàu thực Esso Bernicia 193000 DWT để phục vụ cho các bước tiếp theo trong nghiên cứu lập trình tối ưu hóa quí đạo tàu. Việc xác định 15 hệ số này giúp cho các bước nghiên cứu tiếp theo về tối ưu hóa mô phỏng chuyển động tàu sẽ rút gọn được bộ hệ số cần tối ưu hóa. Đồng thời, qua đó cũng xác định và phân tích được những hệ số TDLH có

ánh hưởng lớn đến sự sai lệch quí đạo mô phỏng của tàu. Nội dung bài báo có giá trị khoa học và giá trị tham khảo hữu ích cho các nhà khoa học, các chuyên gia nghiên cứu về mô phỏng tối ưu hóa quí đạo tàu, ước tính các hệ số TDLH của tàu, mô phỏng các loại tương tác TDLH của tàu, mô phỏng cảnh báo đâm va tàu và các nghiên cứu liên quan khác □

Tài liệu tham khảo

- [1]. Trần Khanh Toàn (2017), Đề tài nghiên cứu khoa học cấp Bộ GTVT "Nghiên cứu ứng dụng các thuật toán tối ưu hóa để nâng cao độ chính xác dự đoán quí đạo tàu của các hệ thống mô phỏng hàng hải", Mã số DT154021, Bộ GTVT.
- [2]. Andrea Saltelli (2002), *Sensitivity Analysis for Importance Assessment*, Risk Analysis, vol.22, no.3.
- [3]. Andrea Saltelli (2003), Stefano Tarantola, Francesca Campolongo and Macro Ratto, *Sensitivity Analysis in practice - A guide to assessing scientific models*, John Wiley & Sons, Ltd.
- [4]. Trần Khanh Toàn, Hoàng Xuân Danh (8/2014), *Lập trình mô phỏng điều động tàu biển cho phép thử Turning Circle và Zig-Zag theo tiêu chuẩn IMO*, Tạp chí Khoa học công nghệ hàng hải, số 39.
- [5]. Trần Khanh Toàn (11/2015), *Mô phỏng tương tác thủy động lực giữa tàu với bờ và đáy luồng nhằm nâng cao hiệu quả công tác bảo đảm an toàn giao thông đường thủy nội địa*, Tạp chí GTVT, Số đặc biệt (ISN 2354-0818), tr.174-176.
- [6]. Trần Khanh Toàn (2015), Giáo trình "Kỹ thuật an toàn hàng hải", Trường Đại học Hàng hải Việt Nam.
- [7]. Fossen T.I. (1994), *Guidance and Control of Ocean Vehicles*, John Wiley & Sons, 448p.
- [8]. Tran Khanh Toan, Ouahsine A., Naceur H., Hissel F. and Pourplanche A. (2009), *A fast simulation and identification of hydrodynamic parameters for a freely manoeuvring ship vessels*, International Conference on Multiphysics - MULTIPHYSICS 2009, Lille, France, pp.71.
- [9]. Tran Khanh Toan, Ouahsine A., Naceur H., Hissel F. and Pourplanche A. (June 2011), *Coefficient Identification for Ship Manoeuvring Simulation Model based on Optimization Techniques*, International Conference on Computational Methods for Coupled Problems in Science and Engineering IV - COUPLED PROBLEMS 2011, 20-22, Kos, Greece, pp.1261-1272.
- [10]. Tran Khanh Toan, Ouahsine A., Naceur H., Hissel F. and Pourplanche A. (September 2011), *Coefficients Identification for Ship Manoeuvring Simulation based on Optimization Techniques*, International Conference on Computational Methods in Marine Engineering IV - MARINE 2011, 28-30, Lisbon, Portugal, pp.369-380.
- [11]. Antoniou A. and Lu W.S. (2007), *Practical Optimization: Algorithms and Engineering Applications*, Springer, 202p.
- [12]. Sutulo S., Moreira L. and Soares C.G. (2002), *Mathematical models for ship path prediction in*

manoeuvring simulation systems, Ocean Engineering 29, pp.1-19.

[13]. Clarke D., Patterson D.R., Vfooderson R.K. (1972), *Manoeuvring trials with the 193000 dwt tanker "Esso Bernicia"*, Paper: Spring Meeting of the Royal Inst of Naval Architects, no.10.

[14]. Skjetne R., Smogeli Ø.N. and Fossen T.J. (2004), A Nonlinear Ship Manoeuvering Model: Identification and adaptive control with experiments for a model ship, Modeling, Identification and Control 25(1), pp.3-27.

[15]. Tran Khanh Toan., Ouahsine A., Naceur H. and El Wasifi K. (2013), Assessment of ship manoeuvrability by using a coupling between a nonlinear transient manoeuvring model and mathematical programming techniques, ELSEVIER/ScienceDirect/Journal of Hydrodynamics/DOI: 10.1016/S1001-6058(13)60426-6, pp.788-804 (2013). ISSN:1001-6058.

[16]. P.Du, A.Ouahsine, Tran Khanh Toan, P.Sargent (2017), *Simulation of ship manoeuvring in confined waterway using a nonlinear model based on optimization techniques*, ELSEVIER - OCEAN ENGINEERING 142(2017), pp.194-203, ISSN 0029-8018.

[17]. P.Du, A.Ouahsine, Tran Khanh Toan, P. Sargent (Oct 2018), *Simulation of the overtaking manoeuver between two ships using the non-linear manoeuvring model*, SPRINGER - JOURNAL OF HYDRODYNAMIC (JHD), pp.791-802, vol.30, Issue 5, ISSN: 1001-6058 (Print) 1878-0342 (Online).

Ngày nhận bài: 01/12/2018

Ngày chấp nhận đăng: 15/12/2018

Người phản biện: PGS. TS. Nguyễn Kim Phương

ThS. Phạm Hồng Cường